

С. М. Васильев, В. И. Кирко

О СТРУКТУРЕ ГАЗОДИНАМИЧЕСКОГО ТЕЧЕНИЯ ПРИ СТОЛКНОВЕНИИ ПЛАСТИН

В работе исследовалась структура газодинамического течения при столкновении металлических пластин с до- и сверхзвуковой скоростью точки контакта u_0 (по отношению к скорости звука в металле a^*). Обнаружено, что в результате распыления и последующего испарения частиц металла из точки контакта в сгустке ударно-сжатого газа выделяется низкотемпературная зона. При этом в случае $u_0 > a^*$ частицы полностью тормозятся в ударно-сжатом газе, ускорение прямой ударной волны в канале обусловлено расширением паров металла. При дозвуковом столкновении пластин частицы «пробивают» ударно-сжатый газ, после чего тормозятся в невозмущенном воздухе, формируя переднюю границу сгустка.

В [1] исследована динамика накопления сгустка ударно-сжатого газа в зазоре между сталкивающимися пластинами. Скорость точки контакта (детонации) была меньше скорости звука a^* в материале пластины. Обнаружено превышение скорости D ударной волны (УВ) в канале и яркостной температуры газа за ее фронтом над значениями, определенными по ударной адиабате воздуха в предположении, что массовая скорость \dot{m} газа в сгустке равна скорости точки контакта. Была выдвинута гипотеза о поступлении в сгусток частиц металла из области точки контакта.

В [2] исследовалось газодинамическое течение в канале при столкновении пластин со сверхзвуковой скоростью точки контакта. Показано, что характер течения зависит от величины зазора между пластинами h . При малых h происходит устойчивое накопление сгустка, средняя скорость D передней УВ превышает ударно-адиабатное значение D_0 . Последнее связывалось, так же как и в [1], со струеобразованием из точки контакта.

С увеличением зазора h скорость D уменьшается до D_0 и далее приближается к скорости детонации u_0 . По достижении «критического зазора» h^* устойчивое накопление прекращается, течение приобретает неустойчивый, пульсирующий характер. При $h > h^*$ накопление полностью отсутствует, область ударно-сжатого газа локализуется вблизи точки контакта. Прекращение накопления сгустка с ростом h обусловлено развитием собственных колебаний метаемой пластины и потерей устойчивости границы раздела пластины и подложки за точкой контакта [3]. В этом случае газ протекает из сгустка через зону контакта и склоняется между пластинами [4]. В [2] предложена идеализированная схема течения в канале (без учета струеобразования из точки контакта) на этапе формирования сгустка ударно-сжатого газа.

В настоящей работе экспериментально исследовались структура и динамика формирования газодинамического течения в зазоре между металлическими пластинами, сталкивающимися с до- и сверхзвуковой скоростью точки контакта.

Схема экспериментов приведена на рис. 1. Заряд взрывчатого вещества (ВВ) 1 устанавливается на метаемой пластине 2, которая крепилась с зазором h над подложкой 3. Для предотвращения разлета про-

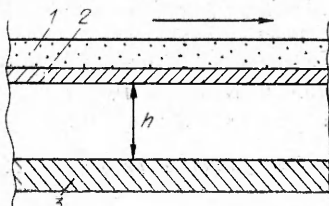


Рис. 1. Схема экспериментов.

дуктов взрыва и ударно-сжатого газа в окружающее пространство канал с боков закрывался стенками из оргстекла.

При детонации заряда пластина металась на подложку. Свечение ударно-сжатого газа перед точкой (линией) контакта регистрировалось сквозь боковые стенки с помощью СФР. Развертка ориентировалась перпендикулярно направлению детонации заряда ВВ. С целью изучения структуры течения фотографирование проводилось через щель на различных расстояниях от начала канала с разверткой вдоль направления детонации. Для контроля угла полета метаемой пластины в отдельных опытах применялась импульсная рентгеновская установка ПИР-600.

Подложка и метаемая пластина изготавливались из меди или алюминия. Скорость детонации составляла $3,1 \pm 0,3$ и $7,3 \pm 0,1$ км/с. При сверхзвуковой скорости точки контакта регистрация осуществлялась через синий интерференционный светофильтр для отсечки паразитного свечения продуктов взрыва. Для определения зависимости характера течения в канале от величины угла полета метаемой пластины изменялось отношение массы ВВ к массе пластины $r = \rho_e \delta_e / (\rho^* \delta^*)$ (ρ_e , δ_e , ρ^* , δ^* — плотности и толщины ВВ и пластины соответственно). С целью исследования структур различных типов газодинамических течений, описанных в [2], выбирались различные величины зазора h .

Фотографии процесса в экспериментах со столкновением алюминиевых пластин при сверхзвуковой скорости точки контакта приведены на рис. 2, а, б, где указаны величины r , h , а также расстояния от начала канала L . При $h < h^*$ в сгустке формируется низкотемпературная зона 1 непосредственно перед точкой (линией) контакта и высокотемпературная часть течения 2 в передней части сгустка. Такая структура течения обусловлена, по-видимому, поступлением частиц металла из области точки контакта в канал.

Существование потока частиц в исследовавшихся режимах соударения подтверждалось контрольными экспериментами с установкой с торца (на выходе канала) специальных преград из стали. После эксперимента на поверхности преграды обнаруживался слой материала метаемой пластины и подложки. В соответствии с [5—7] при сверхзвуковой скорости точки контакта возможно формирование лишь диспергированных струй материала пластин. Распыление частиц в канале с ударно-сжатым газом при температуре $T \approx 10 \div 12 \cdot 10^3$ К (определенной по ударной адиабате воздуха в зависимости от экспериментальной скорости D ударной волны) вызывает их испарение и поглощение тепла. Таким образом, перед точкой контакта формируется область двухфазного течения, температура в которой меньше температуры воздуха в зоне непосредственно за передней УВ.

При $h \geq h^*$ вследствие неустойчивости контактной границы [3] возможно прекращение струеобразования, что приводит к отсутствию низкотемпературной зоны в структуре сгустка (см. рис. 2, б) и к локализации последнего вблизи точки контакта.

На рис. 2, в, г приведены фотографии, полученные в экспериментах с дозвуковым столкновением медных (в) и алюминиевых (г) пластин. Поскольку при $u_0 < a^*$ и малых углах соударения ($17 \div 25^\circ$) возможно образование лишь диспергированных струй из точки контакта [6—8], то, как и при $u_0 > a^*$, распыление в канале частиц металла приводит к формированию в сгустке низкотемпературной 1 и высокотемпературной 2 зон. Наличие струеобразования подтверждалось способом, описанным для случая $u_0 > a^*$. В отличие от сверхзвукового режима, где передняя граница сгустка 3 представляет собой прямую УВ (см. рис. 2, а) и устойчива в течение процесса распространения в канале, при $u_0 < a^*$ на снимках отчетливо видно «пробивание» частицами металла фронта прямой УВ и последующее торможение их в невозмущенном воздухе (зона 4, рис. 2, в, г). При этом искажается граница между зонами 1 и 2 в сгустке. Эффект «пробивания» сгустка частицами зарегистрирован на удалениях в $(20 \div 30)$ h от начала канала (см. рис. 2, г).

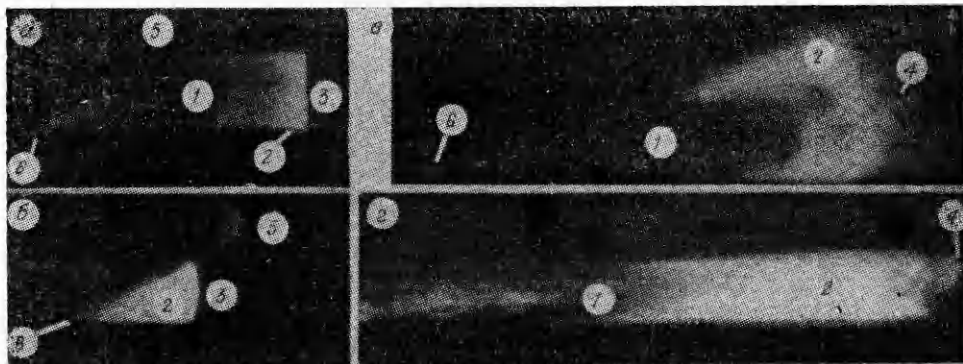


Рис. 2. Фотографии типичных СФР-грамм (стрелкой показано направление распространения детонации).

$a - u_0 > a^*$, $r = 2,3$, $h = 6,8$ мм, $L = 210$ мм; $b - u_0 > a^*$, $r = 2,1$, $h = 7,5$ мм, $L = 100$ мм;
 $c - u_0 < a^*$, $r = 4,6$, $h = 13,8$ мм, $L = 70$ мм; $d - u_0 < a^*$, $r = 2,1$, $h = 7,5$ мм,
 $L = 200$ мм. 1 — низкотемпературная зона в сгустке ударно-сжатого газа; 2 — высокотемпературная зона; 3 — ударная волна — передняя граница сгустка; 4 — следы от торможения частиц в невозмущенном воздухе; 5 — фронт детонации ВВ; 6 — точка контакта.

Таким образом, при дозвуковом режиме соударения пластин ускорение ударной волны в канале происходит за счет проникновения частиц металла через пробку ударно-сжатого газа. При торможении в невозмущенном воздухе они формируют переднюю границу сгустка. В то же время при $u_0 > a^*$ диспергированный поток из точки контакта действует как «плоский поршень» [1], который равномерно по сечению канала выдавливает ударно-сжатый газ в сторону распространения детонации.

Различия в характере взаимодействия потока частиц из точки контакта с ударно-сжатым газом в сгустке для случаев $u_0 > a^*$ и $u_0 < a^*$ могут быть обусловлены разной интенсивностью торможения частиц в газе.

Для $u_0 > a^*$ в системе координат фронта детонации скорость частиц, вылетающих из точки контакта, $v \approx 0,5u_0 \approx 3,7$ км/с [6]. Скорость звука за фронтом передней ударной волны, распространяющейся с $D \approx 8 \div 9$ км/с [2], составляет $a \approx 2,4 \div 2,7$ км/с. Поэтому происходит около- или сверхзвуковое проникание частиц в ударно-сжатом газе (массовая скорость газа в системе координат фронта детонации $u \leq 1$ км/с).

Так как сопротивление сферического тела максимально в случае околозвукового обтекания [9], то для определения максимального времени торможения рассмотрим сверхзвуковое проникание частиц. В этом случае перед каждой частицей на расстоянии порядка ее радиуса [1] формируется отошедшая ударная волна. Повышенное давление за фронтом этой волны приводит к торможению частицы до массовой скорости газа u . Уравнение движения частицы имеет вид

$$m \frac{dv}{dt} = -(p' - p) S, \quad (1)$$

где m и S — масса и площадь сечения частицы; v — ее скорость (изменяется от v до u); p и p' — давление газа в сгустке и за отошедшей от частицы ударной волной. Можно предположить [1], что скорость отошедшей УВ близка к скорости частицы. Тогда из законов сохранения на фронте УВ следует

$$p' - p \approx \rho(v - u)^2 \quad (2)$$

(ρ — плотность ударно-сжатого газа). Переходя в (1) к конечным разностям, подставляя (2) и учитывая, что $m = \pi d^3 / 6 \cdot \rho^*$, $S = \pi d^2 / 2$ (d и ρ^* — диаметр и плотность частиц), можно получить

$$\frac{\Delta v}{\Delta t} \approx \frac{3}{d} \frac{\rho}{\rho^*} \Delta v^2.$$

Следовательно, полное время торможения частицы до массовой скорости

газа ($|\Delta v| = v - u$):

$$\tau \sim d\rho^*/3(v - u)\rho.$$

Так как максимальный диаметр частиц (или толщина струи при $u_0 < a^*$) $d \approx 100$ мкм [7, 8], то для меди и алюминия $\tau \approx 10$ мкс. Соответственно длина канала, на которой сгусток набирает длину, достаточную для полного торможения частиц, можно оценить по формуле

$$L^* = \frac{v - u}{2} \tau \frac{\rho}{\rho_0},$$

где ρ_0 — плотность невозмущенного газа. Определяя степень сжатия ρ/ρ_0 по ударной адиабате воздуха, получим $L^* \approx 16$ см, что меньше полной экспериментальной длины канала. Поскольку в оценках не учитывалось сопротивление трения при обтекании частиц и их испарение в нагретом до температуры $(10 \div 12) \cdot 10^3$ К газе (последнее ведет к уменьшению d), то реальное время торможения частиц будет меньше τ .

Таким образом, при $u_0 > a^*$ в проведенных экспериментах поток частиц металла из точки контакта успевал полностью затормозиться в сгустке ударно-сжатого газа.

При соударении частиц с дозвуковой скоростью точки контакта ($u_0 < a^*$) скорость частиц металла относительно газа в сгустке $v - u \approx \approx 1,2$ км/с (в системе координат фронта детонации) не превышает местной скорости звука $a \approx 1,4$ км/с. Поэтому торможение обусловлено сопротивлением трения при обтекании ударно-сжатым газом. Уравнение движения частицы имеет вид

$$m \frac{dv_1}{dt} = -F. \quad (3)$$

Сила сопротивления F определяется для частицы круглой формы [9] так:

$$F = C_w S' \frac{\rho (v_1 u)^2}{2}, \quad (4)$$

где $S' = \pi d^2/4$ — лобовое сечение [9]; C_w — коэффициент сопротивления, величина которого определяется числом Рейнольдса при обтекании частицы газом ($Re = (v - u)d\rho/\mu$ [9]). Вязкость воздуха $\mu \approx 10^{-4}$ кг/(м · с) [10], поэтому $Re \approx 1 \cdot 10^4$. При таких числах Re можно принять $C_w = 0,4$ [9].

Подставляя (4) в (3) и решая полученное уравнение, аналогично (1), можно получить полное время торможения частицы до скорости $v_1 = u$

$$\tau = \frac{\rho^*}{\rho} \frac{4}{3C_w} \frac{d}{v - u}.$$

Для меди и алюминия $\tau \approx 10^{-4}$ с. Длина канала, на которой сгусток наберет расстояние, достаточное для полного торможения частиц, $L^* \approx \approx 0,5 \div 1$ м, что больше протяженности канала в экспериментах. Согласно [11], при $L \geq 1$ м ударно-сжатый газ захлопывается в полостях за точкой контакта, что приводит к эффективному уменьшению длины сгустка. Поэтому торможение частиц из точки контакта при $u_0 < a^*$, возможно, происходит на большем расстоянии, чем по результатам оценок, или вообще невозможно в связи с наступлением установившейся стадии течения с постоянной длиной сгустка, малой для торможения частиц.

Если предполагать, что при торможении в невозмущенном воздухе частица создает конусообразное возмущение (см. рис. 2, в), осевая скорость распространения которого равна скорости частицы, а перпендикулярная к направлению движения частицы — скорости звука в воздухе, то можно по фоторегистограммам определить скорость частиц. В частности, для случая рис. 2, в в покоящейся системе координат скорость частиц достигает ~ 5000 м/с, т. е. в $1,5 \div 1,7$ раза превышает u_0 .

Таким образом, как показали проведенные оценки, при дозвуковом соударении пластин полное торможение потока диспергированных час-

тиц сгустком ударно-сжатого газа может происходить на удалениях $L^* \geq 0,5 \div 1$ м. При меньших L частицы «пробивают» сгусток и тормозятся в невозмущенном воздухе (см. рис. 2, в, г).

При движении в сгустке ударно-сжатого газа происходит испарение частиц, так как температура газа для $u_0 > a^*$ и $u_0 < a^*$ больше температуры кипения меди и алюминия. Количество тепла, необходимого для испарения частицы массы m , можно оценить по формуле

$$Q = C^* m T^* + (\lambda + \chi) m, \quad (5)$$

где C^* — удельная теплоемкость; λ и χ — удельные теплоты плавления и испарения; T^* — температура кипения металла. С другой стороны,

$$Q = q \int_0^{\tau'} S(t) dt \quad (6)$$

(q — тепловой поток из газа к частице; τ' — полное время испарения; t — текущее время; $S(t) = \pi \xi^2(t)$ — площадь поверхности частицы; $\xi(t)$ — текущий диаметр: $\xi(\tau') = 0$, $\xi(0) = d$). Предполагая закон изменения диаметра со временем $\xi(t) = d \left(\frac{\tau' - t}{\tau'} \right)$, интегрируя (6), получим $\tau' = 3Q/\pi d^2 q$. Для Al и Cu $Q \approx 22 \pm 4 \cdot 10^{-3}$ Дж. Тепловой поток определяется формулой [12]

$$q = St \rho u H + \sigma T_*^4, \quad (7)$$

где St — число Стентона при обтекании частицы; H — энтальпия газа; σ — постоянная Стефана — Больцмана; T_* — температура торможения. Определяя St аналогично [12], величины ρ , u , H , T , M — по ударной адиабате воздуха, можно из (7) для $u_0 > a^*$ получить $q \approx 4 \cdot 10^{10}$ Вт/м², а при $u_0 < a^*$ $q \approx 5 \cdot 10^9$ Вт/м², для частиц с $d = 100$ мкм при $u_0 > a^*$ $\tau' \approx 6 \cdot 10^{-5}$ с. Так как $\tau' \approx 6\tau$, то в реальном течении интенсивно испаряется заторможенный до массовой скорости u поток металлических частиц. Для частиц с $d \leq 20$ мкм $\tau' < \tau$.

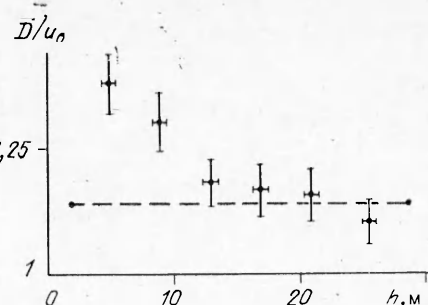
Таким образом, в случае сверхзвукового соударения пластин за фронтом передней УВ в канале реализуется двухфазное течение окисляющихся паров металла и ударно-сжатого воздуха. Последнее заключение подтверждается тем, что превышение реальной длины сгустка l над адиабатной величиной $l_0 = (\bar{D}_0 - u_0)t$ (t — время процесса) нельзя объяснить простым поступлением дополнительного объема металла из точки контакта пластин. Превышение l над l_0 и D над D_0 обусловлено расширением паров металла при испарении частиц в сгустке.

Для $u_0 < a^*$ $\tau' \approx 10\tau$, и так как полностью частицы в сгустке не тормозятся (на удалениях $\leq 0,5 \div 1$ м), то время теплового воздействия нагретого газа на частицы меньше τ' . Поэтому частицы не испаряются полностью в сгустке, а превышение l над l_0 и ускорение УВ обусловлены торможением частиц металла в невозмущенном воздухе.

При анализе экспериментальных результатов обнаружено еще одно отличие течения в канале при $u_0 > a^*$ и $u_0 < a^*$, связанное с зависимостью характера процесса накопления сгустка от величины зазора. В то время как при сверхзвуковом столкновении пластин увеличение h сверх критического значения h^* приводит к прекращению накопления ударно-сжатого газа в канале (см. рис. 2, б), то при $u_0 < a^*$ сгусток устойчиво накапливается вплоть до $h = 25$ мм, что в 4—5 раз выше соответствующего значения h^* для сверхзвукового столкновения алюминиевых пластин.

На рис. 3 показана зависимость средней относительной скорости D/u_0 ударной волны от зазора h в канале длиной 200 мм для дозвукового столкновения алюминиевых пластин и подложки при $r = 4,5$ (аналогичная зависимость при $u_0 > a^*$ приведена в [2]). Как следует из рис. 3, с ростом h отношение D/u_0 приближается к адиабатическому значению (штриховая линия), но не уменьшается до единицы (как при $u_0 > a^*$).

Рис. 3. Зависимость D/u_0 от величины зазора h при $u_0 < a^*$.



Следовательно, при дозвуковом режиме соударения пластин влияние струеобразования с ростом h уменьшается, и течение начинает соответствовать модели «плоского поршня», вдвигавшегося в канал со скоростью детонации u_0 . Стабильное накопление ударно-сжатого газа в случае $u_0 < a^*$ при $h > h^*$ для сверхзвукового режима объясняется, по-видимому, отсутствием протекания газа за линию контакта и устойчивостью последней в отличие от случая $u_0 > a^*$, где линия контакта теряет устойчивость из-за колебаний метаемой пластины при $h \geq h^*$ [3].

Эксперименты показали, что при до- и сверхзвуковом режимах течения увеличение угла соударения β пластин ведет к росту длины сгустка в канале. Последнее может быть обусловлено увеличением потока частиц из точки контакта с ростом β [5—7].

При $u_0 < a^*$ материал пластин не влияет на l . В то же время в случае $u_0 > a^*$ длина сгустка при столкновении пластин из Al была больше, чем для медных пластин. Последнее может быть объяснено большими прочностью и вязкостью меди по сравнению с алюминием, что снижает эффективность струеобразования [6, 7].

Скорость УВ в канале в начале процесса накопления сгустка уменьшается от (1,5—2) u_0 до значений, близких к D (см. рис. 3, а также [2]). Продолжительность «нестационарной» стадии составляет 5—15 мкс и определяется, как и величина D , зазором h .

Таким образом, в работе показано, что при столкновении пластин с образованием диспергированного потока частиц из точки контакта в сгустке ударно-сжатого газа выделяются две зоны: высокотемпературная (непосредственно за передней ударной волной) и низкотемпературная, существование которой вызвано распылением частиц в газе. При этом, если $u_0 > a^*$ частицы полностью тормозятся в сгустке, после чего испаряются. Ускорение передней УВ вызвано расширением в сгустке ударно-сжатого газа паров металла. В случае $u_0 < a^*$ частицы пробивают сгусток с последующим торможением в невозмущенном воздухе, формируя таким образом УВ в канале. Устойчивое накопление сгустка газа происходит вплоть до зазоров, в 4—5 раз превышающих критический для $u_0 > a^*$, когда накопление прекращается.

ЛИТЕРАТУРА

- Ишуткин С. И., Кирко В. И., Симонов С. А. Термическое влияние ударно-сжатого газа на поверхность сталкивающихся пластин // ФГВ.—1980.—16. № 6.—С. 69.
- Васильев С. М., Кирко В. И. Исследование процесса формирования газодинамического течения в условиях остроугольной геометрии сталкивающихся пластин // Там же.—1985.—21. № 1.—С. 88.
- Vasiliyev S. M., Kirko V. I. Conditions of shock-compressed gas thromb build-up in high-velocity collision of plates // The 10th Int. Conf. on High Energy Rate Fabrication.—Ljubljana (Yugoslavia), 1989.
- Knoepfel H., Kroegler H., Lappi R. et al. Generation and switching of magnetic energies in the Megajoule Range by explosive systems // The Review of Sci. Instruments.—1960.—40, N 1.—P. 60.
- Chou P. C., Carleone J., Karpp R. R. Criteria for jet formation from impinging shells and plates // Appl. Phys.—1976.—47, N 7.—P. 2975.
- Кинеловский С. А., Тришин Ю. А. Физические аспекты кумуляции // ФГВ.—1980.—16, № 5.—С. 26.
- Дерибас А. А., Захаренко И. Д. О поверхностных эффектах при косых соударениях металлических пластин // Там же.—1974.—10, № 3.—С. 409.

8. Захаренко И. Д. Сварка металлов взрывом.— Минск: Наука и техника, 1990.
9. Шлихтинг Г. Теория пограничного слоя.— М.: ИЛ, 1956.
10. Очерки физики и химии низкотемпературной плазмы/Под ред. С. Л. Полака.— М.: Наука, 1971.
11. Кудинов В. М., Коротеев А. Я. Сварка взрывом в металлургии.— М.: Металлургия, 1978.
12. Ишуткин С. Н., Кирко В. И., Пак Н. И. Численное исследование воздействия газового потока на поверхность сталкивающихся пластин // ФГВ.— 1974.— 17, № 1.— С. 151.

г. Красноярск

Поступила в редакцию 21/III 1991

УДК 532.593

А. Ю. Долгобородов, И. М. Воскобойников, И. К. Толстов,
А. В. Судариков

ОСОБЕННОСТИ РАСПРОСТРАНЕНИЯ УДАРНЫХ ВОЛН В СМЕСЯХ

Экспериментально исследовано распространение ударных волн в двухкомпонентных смесях, сильно отличающихся по плотностям материалов. Обнаружены особенности, связанные с установлением гидродинамического равновесия за ударным фронтом. Наблюдался процесс размывания ударной волны, зависящий от соотношения сжимаемостей и плотностей компонентов, объемного содержания и дисперсности частиц тяжелого компонента и вязкости легкого.

В работе исследовалось ударно-волновое сжатие бинарных смесей из компонентов с сильно отличающимися плотностями и сжимаемостями. Интерес к исследованию бинарных смесей связан как с решением некоторых технических задач, так и поиском путей определения динамической сжимаемости веществ, для которых изготовление малопористых образцов сопряжено с большими техническими трудностями. При этом предполагается возможность пересчета ударной адиабаты смеси, приготовление образцов из которой проще, на ударные адиабаты компонентов.

В большинстве опубликованных работ ударные адиабаты смесей находились на основе измерений скоростей ударных волн D в образцах при известных параметрах волн в экранах перед образцами или скоростях ударников. Интерпретация первичных данных была такой же, как при нахождении ударных адиабат однородных веществ (см., например, [1—3]). При этом не проверялась и, как правило, даже не рассматривалась возможность существования особенностей в распределении массовых скоростей за фронтами волн из-за различия плотности и сжимаемости веществ частиц различных компонентов. Хотя ударные адиабаты многих смесей удавалось с приемлемой точностью рассчитывать по известным ударным адиабатам компонентов без рассмотрения каких-либо особенностей сжатия смесей, справедливость такого подхода неочевидна для смесей из сильно отличающихся по плотностям компонентов. В зависимости от содержания и дисперсности компонентов смеси можно ожидать появления особенностей в течении вещества за фронтом волны.

При малых содержаниях плотного компонента с невысокой дисперсностью частиц и наличии градиента скоростей между частицами легкий компонент может достаточно легко обтекать плотные частицы, постепенно вовлекая их в поток. При большом объемном содержании плотного компонента с образованием его частицами каркасной системы более вероятно многократное сжатие легкого компонента с затрудненной фильтрацией через каркасную систему. Достижение гидродинамического и теплового равновесия между компонентами за фронтом волны может происходить за времена, сравнимые с временами наблюдения процесса.

Случай с малым содержанием плотного компонента в известной степени смоделирован в [4] при помещении отдельных крупных частиц тя-